

الگوی چین خوردگی در نهشته های دگرگونی منطقه فاریاب

(جنوب خاوری پهنه سندج - سیرجان)

نوشته: شهرام شفیعی بافتی*، سید احمد علوی* و محمد محجل**

*دانشگاه شهید بهشتی، دانشکده علوم زمین، گروه زمین شناسی، تهران، ایران

**دانشگاه تربیت مدرس، دانشکده علوم پایه، گروه زمین شناسی، تهران، ایران

Folding Style in Metamorphic Rocks of Faryab Area (South-East of Sanandaj-Sirjan Zone)

By: Sh. Shafiei Bafti*, S. A. Alavi* & M. Mohajjal**

*University of Shahid Beheshti, Faculty of Earth Sciences, Department of Geology, Tehran, Iran

**University of Tarbiat Modarres, Faculty of Basic Sciences, Department of Geology, Tehran, Iran

تاریخ دریافت: ۱۳۸۵/۰۴/۲۵ تاریخ پذیرش: ۱۳۸۵/۰۷/۱۷

چکیده

منطقه فاریاب در انتهای جنوب خاوری پهنه سندج- سیرجان در بخش داخلی کوهزاد زاگرس واقع شده و با واحدهای سنگ‌شناسی پالتوزوئیک، دو مرحله چین خوردگی را نشان می‌دهد. این دو مرحله چین خوردگی در شرایط دگرگشکلی شکل‌پذیر و الگوی چین خوردگی مکرر، به صورت پیشرونده رخ داده است. چینهای خوابیده نسل اول با سطح محوری دارای شیب متوسط به سمت شمال و میل محوری متغیر به سمت شمال باختراست جنوب باختراست تمام واحدهای سنگ‌شناسی منطقه مورد مطالعه دیده می‌شوند. در تداول چین خوردگی نسل اول، راندگیهای در بالهای برگشته چینها روی داده است. تأثیر بارز راندگیها در حوضه مرکزی در شمال انديس طلای زرترشت و لبه جنوبی اين حوضه با جايگيری ورقه‌های عظيم از كالك شيست با ميان لايهای مرمری كمپلکس سرگز به خوبی مشخص است. چین خوردگی نسل اول تحت سازوکار جرياني- خمسي، بالهای برگشته بریده شده، پهنه‌های برشی وابسته به راندگیها و دگرگونی واحدهای سنگی در رخساره شيست سبز از ويزگیهای مرحله اول چین خوردگی است. مرحله دوم به وسیله چین خوردن مجدد سطح محوری چینهای نسل اول در مقیاس بزرگ در سه تاقدیس پاسفید، زرترشت و زهمکان به خوبی دیده می‌شود. در این مرحله از چین خوردگی، راندگیهای نسل قبلی نیز چین خورده‌اند. داده‌های ساختاری، تنوع جهت‌یابی محورهای چین خوردگی نسل دوم را از N80W تا S45W نشان می‌دهد که الگوهای تبدیلی S on S و M on S، Z on S به خوبی معرف هم محور بودن دو نسل چین خوردگی هستند.

کلید واژه‌ها: تکوین ساختاری، مراحل دگرگشکلی، چین خوردگی دوباره، ساختارهای تبدیلی، فاریاب.

Abstract

Faryab area at the southeastern part of the Sanandaj-Sirjan zone, containing the Paleozoic rocks in the internal part of Zagros Orogen, displays two folding episodes through a progressive deformation event. Axial planes of recumbent F₁ folds dip moderately to the north and the axes also plunge moderately to NW - SW. F₁ folds were generated in a flexural-flow condition in whole lithological units. Thrust faults were produced along the overturned limbs of the F₁ folds. These thrusts are most abundant in the central domain, the north of Zartorosht Au-index. At the southern edge of the central domain, displacement of large slabs of calcschist with interbedded marble were produced by these thrust faults.

Overturned limbs were cut by ductile shear zones of thrusts and development of green-schist facies in these shear zones implying the medium dips for thrusting. F₂ folds were developed by co-axially refolding of F₁ that are well exposed in Pasefid, Zartorosht and Zehmakan anticlines. Structural data shows the variation of F₂ axis between S45W - N80W directions. Interference patterns of Z on S, M on S and S on S indicate coaxial refolding F₁ by F₂ (Hook Type).

Key words: Structural evolution, Deformation phases, Refolding , Deep structures, Faryab.

مقدمه

مطالعه ساختاری سنگ‌های دگرگونی پالتوزوئیک در منطقه فاریاب واقع در بخش‌های انتهایی جنوب خاوری پهنه سندج - سیرجان به عنوان بخش



شده + کالک شیست ۲ - واحد Pzmv آمفیبول شیست که حاصل دگرگونی آتشفسانیهای بازالتی و آذرآواریهای است. ۳ - واحد PzQt: کوارتز مسکوویت شیست + نواهای کوارتنی.

به نظر می رسد که مواد اولیه دگرگونیهای سرگز متعلق به دونین - کربنیفر باشد. (1972) Sabzehi & Berberian در آهکهای داخل میکاشیستهای سبز مجموعه سرگز بقایایی از بازوپایان، لامی برانشها و کربنیویدها را یافته اند. در ناحیه دهسرد در شمال باخته منطقه فاریاب (1972) Hushmandzadeh & Berberian در مجموعه های قابل مقایسه با مجموعه های سرگز - آبشور گرده هایی یافتند که متعلق به دونین تشخیص داده شده است. به حال سن مواد اولیه مجموعه آبشور در محدوده دونین و سن مواد اولیه سرگز دونین - کربنیفر است. این دو کمپلکس خارج از منطقه مورد مطالعه به طور دگرگشیب در زیر واحد های ماسه سنگی و کنگلومراپی ژوراسیک زیرین قرار گرفته اند (شکل ۲).

دایکها

در محدوده کانی سازی طلای زرترشت، دایکهای فراوانی قابل مشاهده است. این دایکها که عمدتاً از جنس دیاباز می باشند، تمامی واحد های سنگ شناسی منطقه را قطع کرده اند.

ساختار

از لحاظ ساختاری می توان منطقه را به حوضه های متفاوتی تقسیم کرد. تفاوت ساختارها در این مناطق یک عامل اساسی در تقسیم بندی حوضه هاست. (شکلهای ۳-الف و ب).

حوضه خاوری

حد خاوری این حوضه به نهشته های کواترنری و حد باخته آن به گسلهای عادی در قسمتهای باخته و شمال باخته آبراهه پاسفید ختم می شود. در این حوضه، ارتباطات چینه شناسی به طور عادی نمایان است. همان طور که در شکل ۴ مربوط به مقطع A-A' دیده می شود، همه واحد های سنگ شناسی منطقه مورد مطالعه در این حوضه حضور دارند.

حوضه مرکزی

حد خاوری این حوضه به سامانه گسلهای عادی در خاور و حد باخته آن به سامانه گسلی کوه سه رگل ختم می شود. حضور سیماهای ساختاری اعم از گسلهای عادی، راندگیها در شمال و جنوب حوضه، حضور فازهای دگر شکلی نسل اول و دوم، نفوذ فراوان دایکهای دلبری از ویژگیهای

(Brittle Deformation) می باشد. تحلیل الگوی چین خوردگی بر مبنای تفکیک فازها و تعیین سن نسبی رخداد چین خوردگی و تعیین سازو کار چین خوردگی و ارائه الگوی توسعه راندگیها در واحد های پالئوزویک هدف اصلی این نوشتار می باشد.

موقعیت زمین شناختی منطقه فاریاب
از دیدگاه تقسیمات زمین ساختی، منطقه فاریاب در بخش های انتهایی کمریند سنندج - سیرجان و در باخته گسل زندان (میناب) واقع شده است (شکل ۱-الف و ب).

چینه شناسی و سنگ شناسی
قدیمی ترین واحد های چینه شناسی بروزند یافته در محدوده مورد مطالعه مربوط به پالئوزویک است. این واحد ها در تقسیم بندی پیکره های سنگ شناسی منطقه اسفندی، جزو دگرگونیهای این منطقه قرار گرفته اند (Sabzehi, 1974). اولین بار (1955) Hubber این دگرگونیها را سازند سرگز نامید. (1974) Sabzehi این سازند را به دو بخش شامل سنگهای دگرگونی پالئوزویک (کمپلکس های سرگز و آبشور) و دگرگونیهای زون آمیزه رنگین تقسیم کرد.

کمپلکس آبشور

قدیمی ترین واحد چینه شناسی، مرمرها و دولومیتها کمپلکس آبشور هستند. این واحد در لبه جنوبی و همچنین در دو ارتفاع به نام کوه های اسپیررز و سه رگل رخمنون یافته است. کمپلکس آبشور را می توان به دو قسمت شامل مرمر و دولومیت (Pzm) و گدازه های بازی دگرگون شده (Pzv) تقسیم کرد. واحد Pzv در کوه پاسفید در خاور منطقه رخمنون یافته است، این واحد در دیگر نقاط دیده نمی شود و می توان آن را به صورت روانه های بازیک عنوان کرد که در محیط رسوبی Pzm شکل گرفته که البته این فرایند به صورت متناوب و گسترده تکرار نشده است. در مرمر های کوه سه رگل به رغم دگرگونی شدید آثاری از مرجانها، کربنیویدها و بازوپایان قابل مشاهده است. هیچ کدام از فسیلهای مذکور به دلیل تبلور دوباره برای سن سنجی مفید نیستند. در مناطق اطراف دولت آباد، دهسرد و کوه خبر آثار فسیلی قابل تشخیصی مربوط به دونین بالایی از مرمر های مشابه یافت شده است. (سیزدهمی، ۱۳۷۳)

کمپلکس سرگز

کمپلکس سرگز بر روی بالاترین افق مرمر های آبشور قرار می گیرد (Sabzehi, 1974). این کمپلکس از پایین به بالا شامل سه واحد به شرح زیر است: ۱- واحد Pzc شامل شیست + میان لایه های کربناتی دگرگون

نمایی از چین خوردگی لایه های مرمری با تناوبی از واحد های شیستی را نشان می دهد. این چینها جزو چینهای بسته تقسیم بندی می شوند. به دلیل سختی لایه های مرمری برگوارگی سطح محوری در این چینها توسعه پیدا نکرده، اما در لایه های شیستی به صورت واگرا نسبت به هسته چین تشکیل شده است (شکل ۹). شب سطح محوری در این نوع چینها به طور میانگین ۳۵ تا ۴۵ درجه به سمت شمال باختر و امتداد آن تقریباً شمال خاور - جنوب باختر اندازه گیری شده است. سازو کار تشکیل این نوع چین را می توان خمی - جریانی عنوان کرد.

Pzmv واحد

به دلیل ماهیت سنگ شناسی این واحد، آثار چین خوردگی نسل اول بیشتر در لایه های کوارتز - فلدسپاتی تفرقی شده از توده سنگ و به صورت چینهای کششی قابل مطالعه و پیگیری است (شکل ۱۰). ستریای لایه کوارتز - فلدسپاتی بین ۱/۵ تا ۵ سانتی متر متغیر است. تغییرات محور این چینها مشابه شبکه ارائه شده در شکل ۷-ب باشد. این چینها دارای سطح محوری افقی تا مایل با شبیب ۴۵ درجه به سمت شمال است.

PzQt واحد

نوع چین خوردگی نسل اول در این واحد به دلیل حضور لایه های شیستی و میان لایه های مقاوم کوارتزی شیوه چین خوردگی در واحد Pzc است. در اثر این چین خوردگی یک برگوارگی قوی و واگرا نسبت به هسته چین در بخش های شیستی توسعه یافته است و لایه های کوارتزی مقاوم بدون برگوارگی ظاهر شده اند (شکل ۱۱). این چینها جزو چینهای بسته تقسیم بندی می شوند. تغییرات محور این چینها مشابه دیگر چینهای نسل اول در سایر واحدها است و سطح محوری این چینها دارای شبیب ۴۵ تا ۵۰ درجه به سمت شمال و یا جنوب است. با توجه به تغییر ستریای لایه در یالها نسبت به لولا می توان رده II یا چینهای مشابه را برای این گروه در نظر گرفت. شواهد سازو کار خمی - جریانی به خوبی در واحد های سنگ شناسی مذکور دیده می شود. ستر شدگی لایه های مقاوم در لولا نسبت به یال (شکل ۷-الف و ۸)، جریان یافنگی واحد های شیستی نامقاوم، نازک شدگی این لایه ها در یال و ایجاد یک شیسته وارگی سطح محوری واگرا (شکل ۹) همگی این ساز و کار را تایید می کند. یکی دیگر از شواهد این ساز و کار ایجاد ساختار Saddle reef می باشد. (Ramsay 1967)

براساس تفاوت در گرانزوی لایه مقاوم نسبت به لایه نامقاوم یا نسبت $\frac{1}{\mu 1}$ و نسبت ستریای لایه نامقاوم به لایه مقاوم یا $n = \frac{d_1}{d_2}$ مدل های متفاوتی ارائه کرده است که ساختار Saddle reef در وضعیت نسبت بالای $\frac{1}{\mu 1}$ و مقدار متوسط n رخ می دهد. نسبت $\frac{1}{\mu 1}$ به موضع قابل

ساختاری باز خوبه مرکزی است. مقطع 'B-B' در شکل ۵ ساختارهای این حوضه را نشان می دهد.

حوضه باختری

حد خاوری این حوضه به سامانه گسلی کوه سهر گل و حد باختری آن به بلندی های تنگ آبشوئیه ختم می شود. حضور یا عدم کردن کمتر ساختارها بویژه راندگیها از تفاوت های باز خوبه با دو حوضه مرکزی و خاوری است. راندگیها در لبه جنوبی این حوضه باشد کمتر حضور دارند. مانند دو حوضه دیگر، دگر شکلی نسل اول و دوم اثرات قابل ملاحظه ای بر جا گذاشته اند، گسلش عادی و نفوذ دایکه های دریتی باشد کمتر نسبت به حوضه مرکزی قابل مشاهده است (مقطع 'C-C'، شکل ۶).

ساختارهای حوضه خاوری

چین خوردگی نسل اول

در منطقه مورد مطالعه و بویژه در حوضه مرکزی، چین خوردگی نسل اول به صورت یک چین خوابیده (recumbent) بزرگ مقیاس رخنمون یافته است. بهترین محل ظهور این چین در جنوب باختری رخداد معدنی زرترشت است. اما در حوضه خاوری چین نسل اول به صورت یک چین خوابیده بزرگ مقیاس قابل مشاهده و مطالعه نیست، اما اثرات این نسل به صورت ریز چینهای مشاهده می شود. با توجه به تأثیر تنوع سنگی، مشخصات این نسل چین خوردگی در هر کدام از واحدها جداگانه تشریح شده است.

Pzm واحد

اثرات این نسل چین خوردگی در بخش های نازک لایه واحد Pzm بررسی است (شکل ۷-الف). این چینها جزو چینهای تنگ و یال موازی تقسیم بندی می شوند. دارای برگوارگی سطح محوری هستند که بیشتر موازی با لایه بندی مشاهده می شود. شب سطح محوری در این چینها به طور میانگین ۲۰ تا ۲۵ درجه به سمت شمال و امتداد آن با روندی تقریباً خاوری - باختری اندازه گیری شده است. این چینها طول موج کوتاه و دامنه بلندی دارند. شکل ۸ توزیع محورهای چینهای F1 را در کل منطقه نشان می دهد.

Pzc واحد

واحد Pzc یک واحد متنوع و مرکب از شیست، میان لایه های کربناتی دگر گون شده و کالک شیست است. به دلیل تنوع و تفاوت در رئولوژی واحد های مذکور و به دلیل قابلیت چین خوردگی بهتر میان لایه های کربناتی، چینهای نسل اول در این واحد مطالعه و پیگیری شده اند. شکل ۸



الگوها به خوبی توسعه یافته‌اند. می‌توان الگوی تداخلی را نوع III (Ramsay, 1967) اعلام کرد (شکل‌های ۱۵-الف، ب، پ و ت). موقعیت_۱ AS_۲ نسبت به AS_۱ و شبکه استریوگرافیک توزیع محورها و همچنین وضعیت قطب سطح محوری چینهای نسل دوم و مقایسه این شبکه با شبکه محور چینهای F1 نشان می‌دهد که چین خوردگی F1, F2 از نوع هم محور بوده است (شکل‌های ۱۶-الف و ب).

ساختارهای حوضه مرکزی

چین خوردگی نسل اول

با توجه به الگوهای ارائه شده از نسل اول چین خوردگی در واحدهای Pzm و Pzc در حوضه خاوری مشخص شده است که این نسل باید یک چین خوابیده را ایجاد کرده باشد که البته در حوضه خاوری قابل مشاهده نیست اما اثر این نسل در حوضه مرکزی به بهترین وضع ممکن ظاهر شده است. در جنوب باختり رخداد معدنی زرترشت نسل اول به صورت یک چین خوابیده بزرگ رخمنون یافته است. با توجه به این که این رخمنون کامل از این نسل است بدین لحاظ بحث چین خوردگی نسل اول در حوضه مرکزی در این نقطه ارائه شده است. این رخمنون متعلق به واحد Pzc است. چین خوردگی در این نسل باعث توسعه شبیت وارگی سطح محوری شده که همگی موازی لایه‌بندی هستند. با توجه به اندازه گیریهای انجام شده و تصویر آنها در شبکه استریوگرافیک، مختصات محور و سطح محوری به ترتیب 30/30 N50W/35SW, N50W/N50W اعلام می‌شود. اثرات فرعی این نسل در یال عادی این چین به صورت یک چین فرعی Z شکل دیده می‌شود (شکل‌های ۱۷-الف و ب).

چین خوردگی نسل دوم

این چین خوردگی مشابه با چینهای نسل دوم در حوضه خاوری یک چین بزرگ می‌باشد. رخمنون مطالعه شده در لبه جنوبی حوضه مرکزی قرار دارد و در مقطع' B-B' با نام تاقدیس زرترشت نشان داده شده است. این نسل در این حوضه نیز در واحد Pzm (مرمرآبشور) رخ داده است. در یال جنوبی تاقدیس فوق تکرار لایه‌ها یا به عبارتی دقیق‌تر چین خوردن AS1 مشاهده می‌شود. مختصات محور و سطح محوری براساس شبکه استریوگرافیک به ترتیب عبارت است از: 15/15 N80W/85SW, N80W/85NW (شکل‌های ۱۸-الف و ب).

ساختارهای تداخلی چینها

در فاصله ۱۵۰۰ متری خاور تاقدیس فوق الگوی تداخلی F1, F2 در واحد Pzc متشكل از کالک شیستها و میان لایه‌های کربناتی رخمنون یافته است. شکل ۱۹ تصویر پانoramایی از این رخمنون را نشان می‌دهد. در تصویر، تکرار لایه‌های کالک شیستی و کربناتی مشاهده می‌شود که این

درک است به طوری که تفاوت در گرانزوی لایه‌های مرمری نسبت به شیستها در واحد Pzc، تفاوت زیاد گرانزوی بین لایه‌های کوارتزی و شیستی در واحد Qt نیز قابل مشاهده است. Saddle reef واقعی به وسیله تبلور مواد از فاز سیال ایجاد شده در سنگ در مدت توسعه چین خوردگی ایجاد می‌شود و این فاز سیال می‌تواند در برگیرنده عناصر فلزی با اهمیت اقتصادی باشد. اگر تبلور مواد قادر به پر کردن فضاهای ناشد، مواد نامقاوم می‌توانند از یال به طرف لولا مهاجرت کرده که نتیجه آن در شکل‌های ۸ و ۹ به صورت نازک شدگی لایه‌های شیستی در یالهای چین و تجمع آن در منطقه لولا و حضور یک برگوارگی سطح محوری ظهور پیدا کرده است. در صورتی که مواد مقاوم فضای خالی را محاصره کند، به طوری که سیال یا مواد نامقاوم قادر به ورود به آن نباشد لایه مقاوم به طرف فضای خالی حرکت کرده و یک لولای فرو ریخته یا Hinge collapse ایجاد می‌شود (Ramsay, 1987) (شکل ۸، محدوده داخل مستطیل).

چین خوردگی نسل دوم

این نسل یک ساختار کاملاً مشخص را در منطقه مورد مطالعه ایجاد کرده که به وسیله یک چین خوردگی بزرگ مقیاس (Map scale) توسعه یافته است. بهترین رخمنون این نسل در تاقدیس پاسفید قابل مشاهده است. با توجه به داده‌های برداشت شده و با توجه به شبکه استریوگرافیک چین مذکور از نوع استوانه‌ای و قائم (Upright) و مختصات محور و سطح محوری به ترتیب NW10/10, NW10/S60W و NW10/S60W/S60W ۱۲-الف و ب) (شکل‌های ۱۲-الف و ب).

ساختارهای تداخلی چینها

در حوضه خاوری در یک نقطه در فاصله تقریباً ۵۰۰۰ متری شمال تاقدیس پاسفید الگوی تداخلی F1, F2 رخمنون یافته است. به دلیل مقیاس کوچک رخمنون الگوی تداخلی در مقیاس نقشه قابل برداشت نیست، بدین لحاظ برای توصیف این الگو که در واحد Pzc رخ داده است، از تصاویر برداشت شده استفاده شده است. (Ramsay, 1967) عنوان می‌کند که تأثیرات چین خوردگی دوباره می‌تواند به صورت ظهور ریز چینهای ثانویه روی ریز چینهای اولیه دیده شود. در این بخش به وسیله تصاویر الگوی فوق ارائه می‌شود و در نهایت نوع الگوی تداخلی اعلام می‌گردد. شکل ۱۳ نمایی از رخمنون مورد بحث را نشان می‌دهد. این موقعیت در نقشه ساختاری با علامت (E.I.P) نشان داده شده است. شکل ۱۴ الگوی چین خوردگی دوباره یک چین S شکل را نشان می‌دهد که تأثیر چین خوردگی دوباره به صورت الگوهای S on S, Z on S, Z on M on S, Z on S به تصویر کشیده شده است. در رخمنون الگوی تداخلی در این نقطه نیز این

حوضه خاوری راندگی

عملکرد این راندگی با قرار گیری واحد PzQtv بر روی واحد PzQt و افزایش ستبرای واحد Pzmv ظهور یافته است. در مقطع 'A-A' افزایش سطح رخمنوئی این واحد به خوبی تأثیر راندگی را نشان می دهد (شکل ۲۴).

راندگی T2

تشخیص این راندگی به واسطه قرار گیری درون یک واحد سنگ شناسی با مختصات منطبق بر لایه بندی در انتهای خاوری مشکل است اما رانده شدن بخشی از واحد Pzmv بر روی مرمرهای واحد Pzm افزایش ستبرای واحد Pzc و دگر شکلی میان لایه های کربناتی و کالک شیستها در انتهای باخته نشانه های ساختاری این راندگی است. حضور چینهای کشی و ساختار S-C و همچنین برگوارگی ترانهشی (Transposition) از نشانه های دگر شکلی کالک شیستها در پهنه برشی این راندگی است (شکل های ۲۵-الف، ب، پ و ت).

حوضه مرکزی راندگی T1

تکار واحدهای PzQtv و Pzmv و حضور تکه های عظیم از واحد Pzc درون واحد PzQt از نشانه های این راندگی است. افزایش ستبراهای در نقشه زمین شناسی در مقطع 'A-A' به وضوح عملکرد این راندگی را نشان می دهد. حضور فابریک S-C نشان دهنده مؤلفه راستالغزی راستگرد است (شکل های ۲۶-الف، ب و ج).

راندگی T2

عملکرد این راندگی در شمال رخداد طلای زرترشت با بریده شدن یال برگشته چین خوردگی نسل اول، حضور بخش هایی از واحد Pzc در پهنه برشی، دگر شکلی شدید این واحد، جایه جایی بخش های کالک شیستی کمپلکس سرگز و قرار گیری این بخشها در لبه جنوبی حوضه مرکزی قابل مطالعه است (مقطع 'B-B' و شکل ۲۷). مختصات راندگی T2 به طور میانگین عبارت است از N70W/35NE F: N40W/30S S.S: N40W/90S و شکل ۲۷.

تکار مؤید یک چین مکرر هم شیب است. شیست وارگی دقیقاً بر مختصات لایه بندی قرار گرفته و به طور میانگین دارای شیب 35SW و امتداد 110 است. الگوهای تداخلی مشابه با حوضه خاوری به خوبی توسعه یافته اند. شکل های ۲۰-الف، ب و پ به ترتیب این الگوها را نشان می دهد. موقعیت الگوی تداخلی با علامت (C-I-P) در نقشه ساختاری مشخص شده است. در این الگو نیز با توجه به وضعیت چینهای نسل دوم نسبت به نسل اول می توان چین خوردگی دوباره را از نوع هم محور یا نوع III اعلام کرد. میانگین روند محورها 210 با میل 22 درجه جنوب با خطر است. (شکل ۲۰-ت).

ساختارهای حوضه باخته چین خوردگی نسل اول

در حوضه باخته نیز مشابه با حوضه مرکزی چین خوردگی نسل اول با توسعه یک چین خوابیده قابل مشاهده و مطالعه است. رخمنوئی این نسل در ابتدای مسیر رودخانه زهمکان مطالعه شده است. با توجه به مختصات برداشت شده وضعیت محور و سطح محوری این چین به ترتیب عبارت است از E-W/20N ، E-W/20N (شکل های ۲۱-الف و ب).

چین خوردگی نسل دوم

در این حوضه نیز مشابه با حوضه های خاوری و مرکزی نسل دوم به صورت یک چین قائم بزرگ مقیاس ظاهر شده است . این نسل در لبه جنوبی حوضه باخته و در واحد Pzm واقع شده است. شکل ۲۲-الف نمایی از چین مذکور و شکل ۲۲ ب شبکه استریو گرافیک مربوطه را نشان می دهد. با توجه به مختصات برداشت شده وضعیت محور و سطح محوری این چین به ترتیب عبارت است از N80W/90,N80W/15.

ساختار الگوی تداخلی

در یک رخمنوئی کوچک در فاصله ۱۰۰ متری جنوب تاقدیس نسل دوم و در واقع در یال جنوبی این تاقدیس چین خوردگی دوباره سطح محوری چین نسل اول (AS₁) قابل مشاهده است. شکل ۲۳ نمایی از موقعیت سطح محوری نسل اول نسبت به سطح محوری نسل دوم در الگوی تداخلی را نشان می دهد. از مطالعه الگوهای تداخلی در سه حوضه ساختاری مشخص می شود که الگوی تداخلی از نوع III یا هم محور است.

گسلش

راندگیها

درسه حوضه ساختاری منطقه فاریاب راندگیها با تعابیل جنوبی و موقعیت ساختاری یکسان قرار گرفته اند راندگیها همزمان با چین خوردگی نسل اول توسعه یافته و تأثیر نسل دوم به صورت چین خوردن راندگیها ظاهر شده است.



حوضه باختり

T1 راندگی

با توجه به داده های ساختاری به دست آمده که جزئیات آنها توضیح داده شد، چین خوردگی منطقه فاریاب با چینهای نسل اول (F1) که با توسعه چین خوابیده نمایان شده شروع می شود و در ادامه به توسعه راندگیها در تداوم چین خوردگی نسل اول منتهی می شود. چین خوردگی نسل دوم (F2) به صورت چینهای قائم هم محور با چینهای نسل اول می باشد که در بخش جنوبی منطقه مورد مطالعه به خوبی بروز دارد. منطقه مورد مطالعه در واقع در بخش داخلی (crystalline core zone) یا هسته مرکزی کوهزاد زاگرس واقع شده است. این منطقه سنگهای دگرگونی را Ductile دربرمی گیرد که به طور گسترده در اثر دگرگشکلی شکل پذیر (flow) چین خورده اند. ساختارهای حاصل از این چین خوردگی در منطقه فاریاب شامل چینهای مکرر، سفره های چین خورده و راندگی است. زایش مکرر چین خوردگی در این منطقه، الگوهای تداخلی دو مرحله چین خوردگی را ایجاد کرده است. توالی ساختاری که از تحلیل هندسی این ناحیه به دست آمده، دو نسل چین خوردگی را نشان می دهد. این الگو دقیقاً بر الگوی دگرگشکلی در مناطق مرکزی کمرندهای کوهزایی منطبق است. با توجه به شواهد به دست آمده از نسل اول می توان سازو کار چین خوردگی را خمشی - جریانی اعلام کرد که در آن لایه های سست (incompetent) دچار دگرگشکلی شکل پذیر و لایه های مقاوم (comptent) دچار شکستگی و خمش شده اند. در این سازو کار تفاوت گرانزوی متوسط تا بالا در تمامی واحدهای سنگ شناسی منطقه فاریاب مشاهده می شود. در این واحدها، بخش های شیستی و کالک شیستی گرانزوی بیشتری نسبت به دیگر بخشها مانند لایه های کوارتزی و مرمری دارند که دمای لازم برای این سازو کار حد اکثر تا ۳۰۰ درجه سانتی گراد برآورد می شود. در این سازو کار تغییر ستبرای لایه های مقاوم به اندازه لایه های نامقاوم صورت نمی گیرد. افزایش ستبرای در منطقه لولا و کاهش ستبرای لایه های نامقاوم در یال چینهای نسل اول در منطقه مورد مطالعه به وضوح این موضوع را نشان می دهد که البته لایه های مقاوم کنترل کننده طول موج و دامنه چین خوردگی می باشد (Hatcher, 1995). نسل دوم چین خوردگی با چین دادن سطوح محوری نسل اول به صورت یک چین خوردگی قائم نمایان شده که در لبه جنوبی منطقه مورد مطالعه بهتر مشاهده می شود. روند کلی که می توان برای این چین خوردگی در نظر گرفت شمال خاور - جنوب باختر تا خاوری - باختری است. شکل ۳۱ گرفت شمال خاور - جنوب باختر تا خاوری - باختری است. شکل ۳۲ توالی دگرگشکلی در منطقه فاریاب را به صورت شماتیک نشان می دهد. با توجه به هم محور بودن دو نسل چین خوردگی در منطقه فاریاب، می توان چنین نتیجه گرفت که ایجاد نسل اول و نسل دوم با تشکیل الگوی تداخلی در یک فرایند دگرگشکلی پیشرونده رخ داده است (Ramsay, 1967).

افزایش ستبرای واحد Pzmv در شمال کوه سهرگل از اثرات بارز این راندگی است. با توجه به ویژگی سنگ شناختی این واحد و اطباق راندگی بر مختصات برگوارگی تشخیص راندگی در این واحد دشوار است (شکل ۲۸).

T2 راندگی

عملکرد این راندگی با افزایش ستبرای واحد Pzc در نقشه زمین شناسی و در مقطع C-C' نمایان است. حضور چینهای خوابیده در پهنه برشی راندگی مذکور، همزمانی این دو ساختار را نشان می دهد. مشابه با حوضه مرکزی تأثیر نسل دوم چین خوردگی باعث چین خوردن راندگیها و در نتیجه تغییر در وضعیت ساختاری آنها شده است (شکلهای ۲۹-الف و ب).

گسل لبه جنوبی کوهستان فاریاب یا حد کوه و دشت (T3)

از دیدگاه زمین ریخت شناسی منطقه مورد مطالعه را می توان فلات برآمده از دشت نامید که بالآمدگی قابل ملاحظه ای یافته است. در حد جنوبی کوهستانهای شمال دشت پاسفید یک برآمدگی بسیار مشخص دیده می شود که حاصل حرکات زمین ساختی در این منطقه است. می توان قطعاً حد کوه و دشت را در این منطقه گسل دانست. در لبه جنوب خاوری منطقه مورد مطالعه روند این گسل تقریباً به صورت خاوری - باختری است و در ادامه به سمت باختر به جنوب باختری متمایل می شود، به طوری که می توان یک روند کلی شمال خاور - جنوب باختر برای آن در نظر گرفت. حضور مخروط افکنه های جوان بر روی مخروط افکنه های قدیمی تر در نزدیکی حد کوه و دشت، حضور آبراهها با مقطع V شکل، پرتگاههای فراوان در لبه جنوبی همگی دلالت بر فعل بودن گسل بین حد کوه و دشت در این منطقه دارند (شکل ۳۰).

برگوارگی

برگوارگی چیره در منطقه مورد مطالعه یک رخ اسلیتی است که در همه واحدهای سنگ شناختی به جز مرمرهای ستبر لایه کمپلکس آبشور، دیده می شود. این برگوارگی یک رخ سطح محوری است که با توسعه نسل اول چین خوردگی ایجاد شده و مختصات آن منطبق بر لایه بندی است. شکل ۳۱ نمایی از برگوارگی در واحد کالک شیست از کمپلکس سرگز به عنوان نماینده ریخت شناسی برگوارگی در کل منطقه و شکل ۳۲ شبکه استریو گرافیک مختصات برگوارگی در سه حوضه ساختاری منطقه را نشان می دهد.

جایه جایی واحدهای سنگ شناسی همگی نوع F راندگیها در این منطقه را تأیید می کند. یکی دیگر از آثار این نوع راندگیها ستر شدگی پوسته ای است که در اثر تشکیل سفره های روراندگی به وجود می آید. چنین ورقه های راندگی در بسیاری از مناطق مرکزی کربندهای کوهزایی از جمله آپالاش (Ando et al., 1983 ; Hatcher, 1989) ، کالدونید (Brunel&Kienast, 1986) و هیمالیا (Butler&Coward, 1984) گزارش شده است.

سپاسگزاری

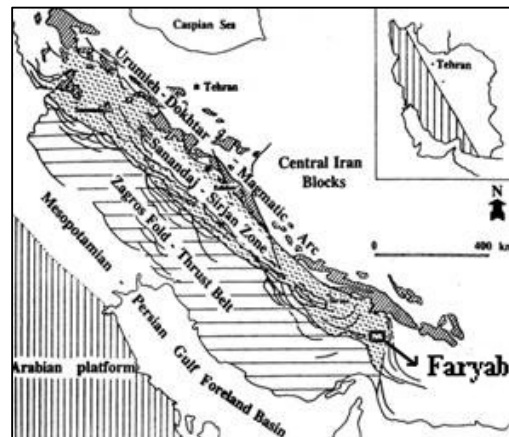
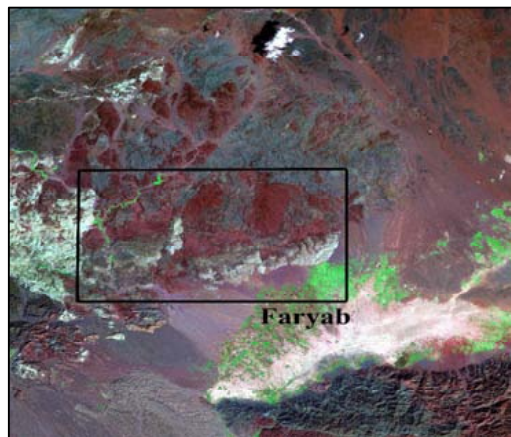
نگارندها بر خود لازم می دانند از کارشناسان محترم سازمان زمین شناسی و اکشافاتمعدنی کشور، مدیریت جنوب خاوری (مرکز کرمان)، آقای مهندس محمد حسینی اختیارآبادی، آقای مهندس مسعود ناظم زاده و آقای مهندس مهدی قربانی به خاطر همکاری و پشتیبانی در انجام بازدیدهای صحرایی و از آقایان دکتر جمشید شهاب پور و دکتر حمید احمدی پور اعضای محترم هیئت علمی گروه زمین شناسی دانشگاه شهید باهنر کرمان به خاطر گفتگوهای ارزنده و از آقای دکتر حجت الله رنجبر عضو محترم هیئت علمی گروه معدن دانشگاه شهید باهنر کرمان و آقای مهندس مهدی هنرمند معاون محترم معدنی سازمان صنایع و معادن استان کرمان به خاطر همکاری در خصوص استفاده از نرم افزارها و تصاویر ماهواره ای و از آقای مهندس آذربیگ کارشناس معدن طلا زرتشت و آقای ایران منش از سازمان زمین شناسی کرمان تشکر و قدردانی نمایند.

با دگرگشکلی پیشرونده بالهای خوابیده یا برگشته چین خوردگی نسل اول در پنهانه های راندگی، برش خورده و سفره های راندگی را به وجود آورده است. بارز ترین عملکرد راندگیها در حوضه مرکزی در مقطع 'B-B' و در جنوب رخداد طلا زرتشت با تکرار واحدهای کالک شیستی با میان لایه های مرمری دیده می شود. این مجموعه نابر جا در جنوب رخداد طلا زرتشت در واقع باز مانده یک سفره راندگی است که قسمت اعظم سترای Pzm و بخش هایی از سترای واحد Pzmv و Pzc را پوشانده است که از دیدگاه ریخت شناسی نیز چنین وضعیتی در مسیر جاده معدن زرتشت قابل مشاهده است.

(Hatcher & Hooper 1992) تکامل ورقه های راندگی در بخش های داخلی کربندهای کوهزایی را مورد بحث قرارداده اند. براساس نظر ایشان دو نوع اصلی از ورقه های راندگی بلورین (Crystalline thrust sheets) شامل نوع C یا ورقه های راندگی خیلی بزرگ (Megacrystalline thrust sheets) و نوع F یا نوع ورقه های راندگی همراه با توسعه چین خوردگی جریانی - خمی در سامانه های کوهزایی به وجود می آید.

تشکیل ورقه های نوع F به واسطه اختلاف جریان در توده شکل بذری ایجاد کننده چین و برش یال بین تاقدیس و ناودیس صورت می گیرد که این اختلاف جریان و بریده شدن یال چینهای خوابیده به خوبی در منطقه فاریاب

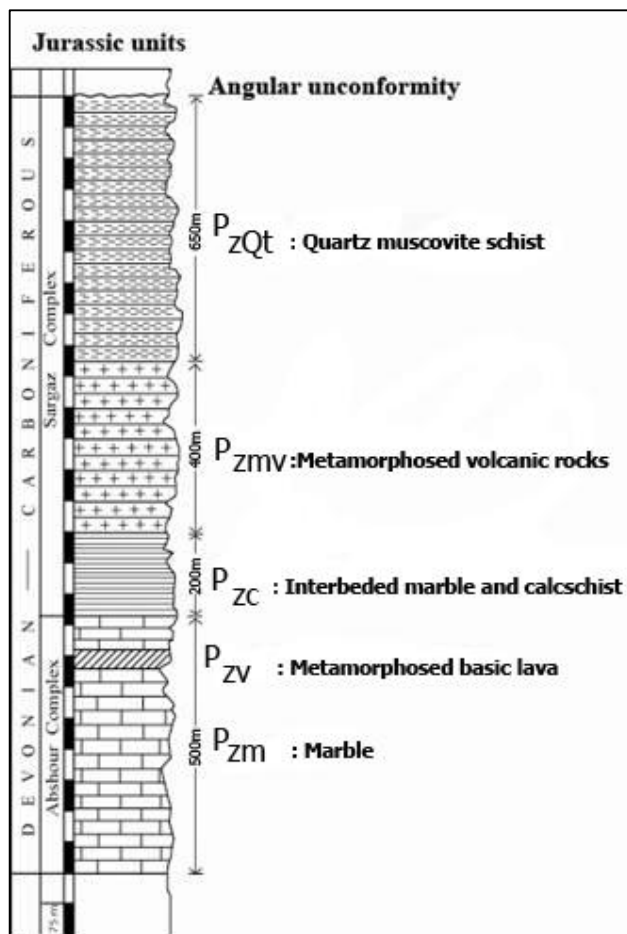
بویژه در حوضه مرکزی قابل مشاهده است. شواهدی همچون حضور نسل اول چین خوردگی تحت سازو کار جریانی - خمی با بالهای خوابیده بریده شده، پهنه های برشی وابسته به راندگیها، حضور رخساره شیست سبز و



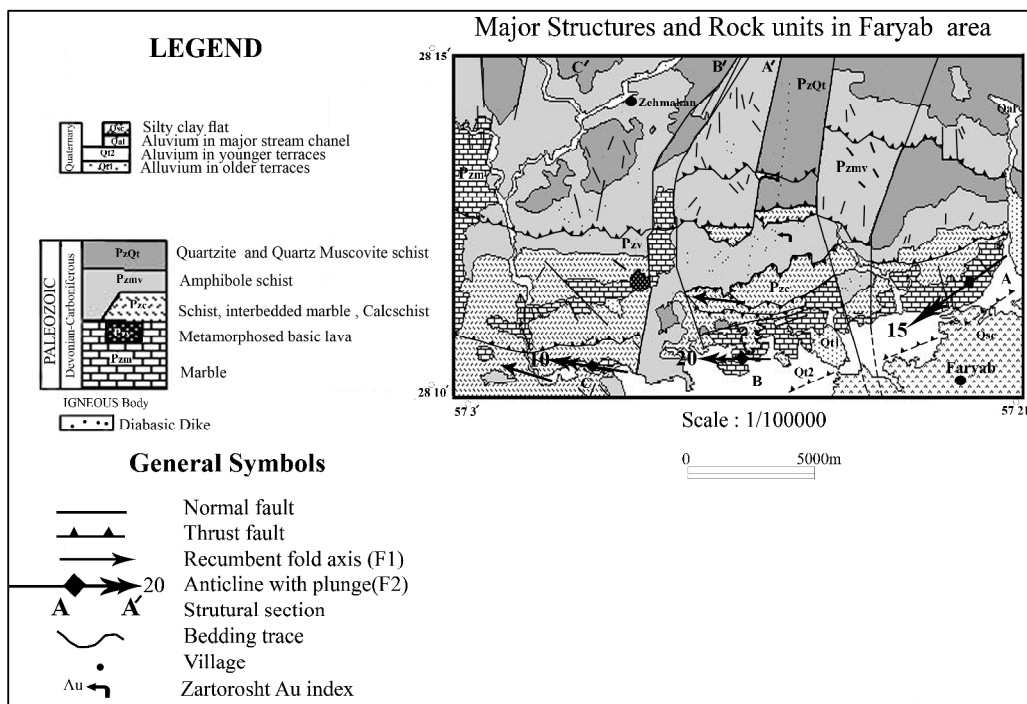
شکل ۱- ب) تصویر ماهواره‌ای منطقه فاریاب و محدوده مورد مطالعه

شکل ۱- الف) موقعیت ساختاری کمریند سندج- سیرجان و

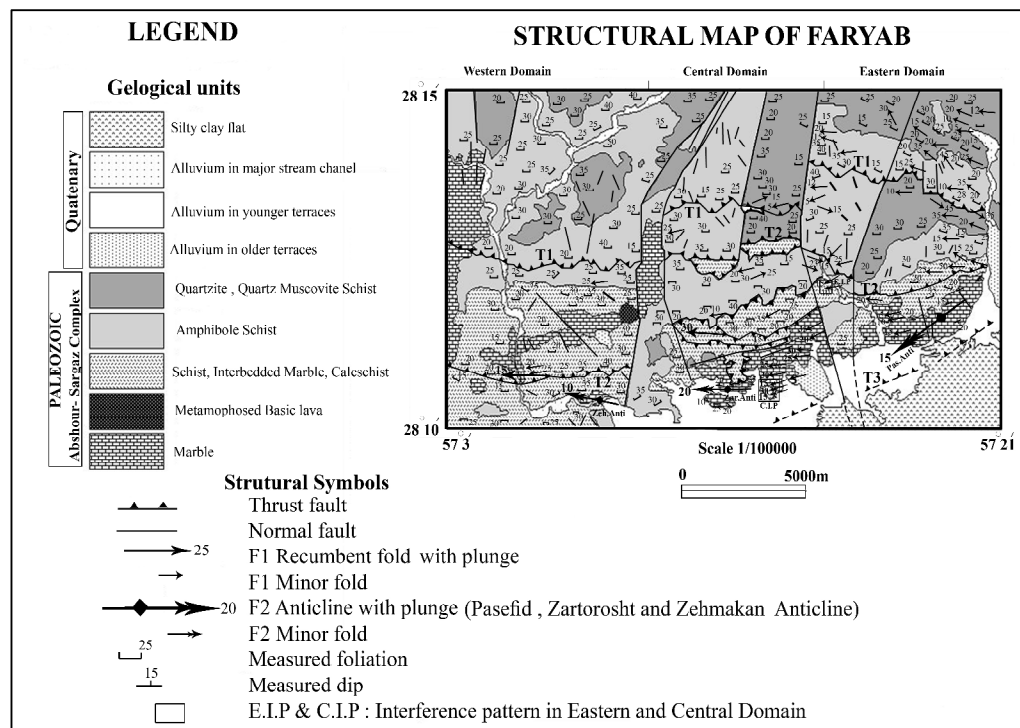
(Mohajjel, 1997)



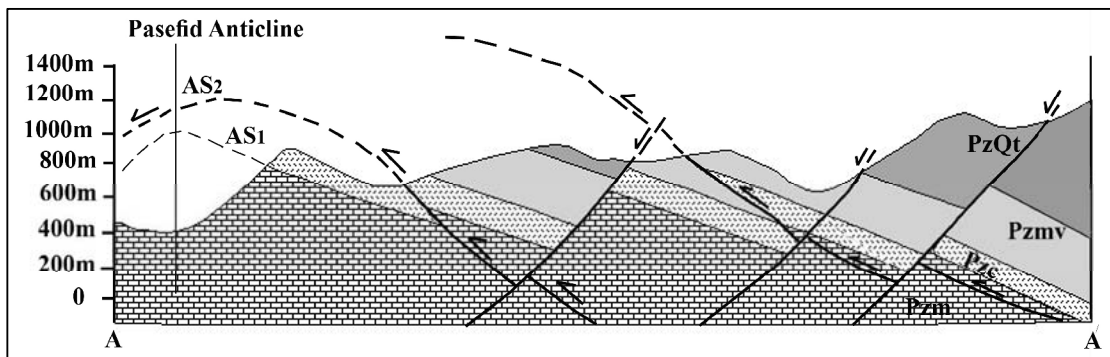
شکل ۲ - ستون چینه‌شناسی واحدهای سنگ‌شناسی منطقه فاریاب



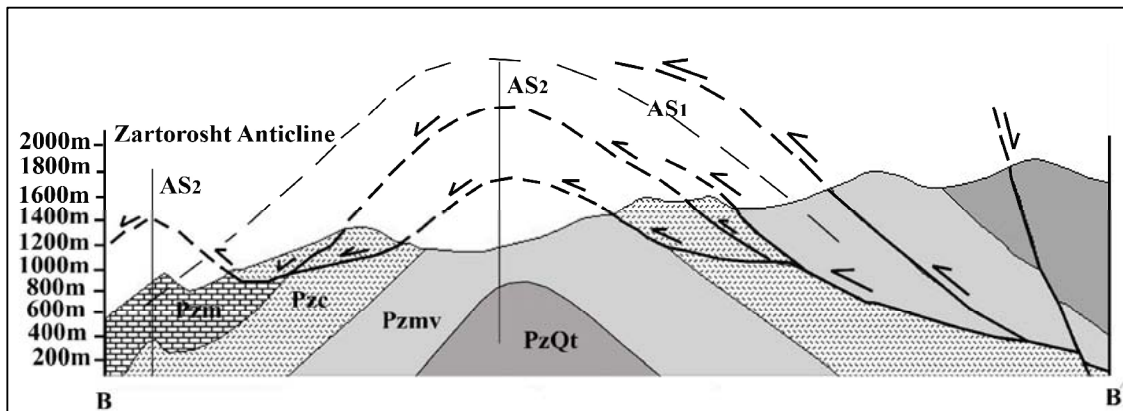
شکل ۳-الف) نقشه واحدهای اصلی چینهای در منطقه فاریاب



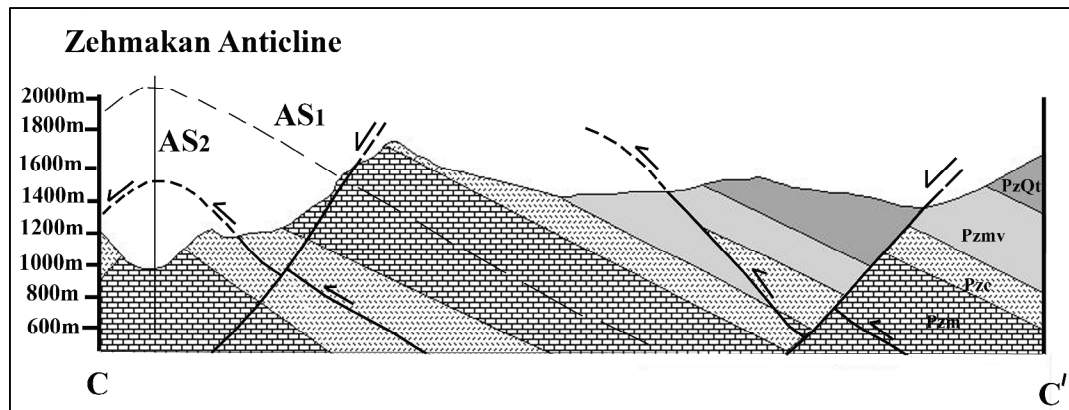
شکل ۳- ب) نقشه ساختاری منطقه فاریاب



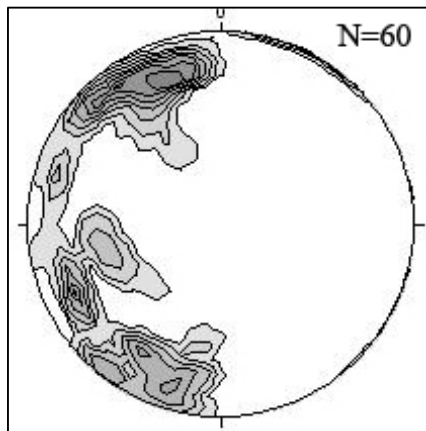
شکل ۴ - مقطع A-A' در حوضه خاوری



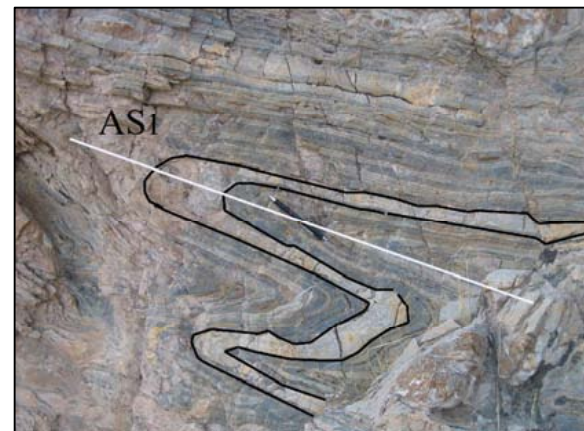
شکل ۵ - مقطع B-B' در حوضه مرکزی



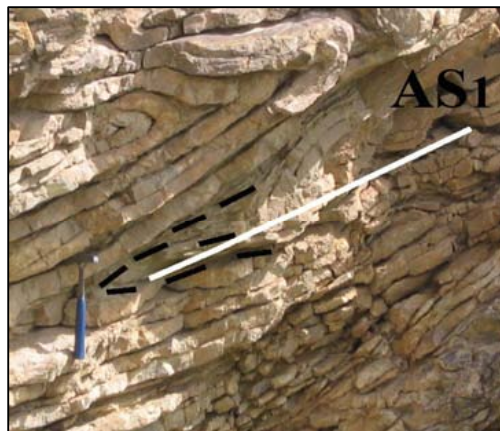
شکل ۶ - مقطع C-C' در حوضه باختری



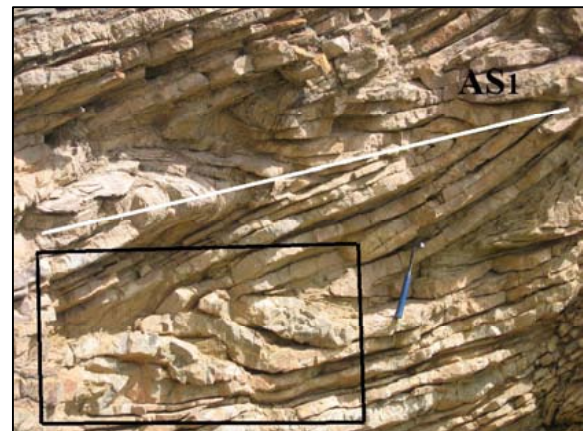
شکل ۷-ب) موقعیت محورهای F1 در کل منطقه



شکل ۷-الف) چین نسل اول در بخشهای نازک لایه واحد Pzm
(دید به سمت باخته)



شکل ۹- نمایی از برگوارگی سطح محوری واگرا در میان لایههای شیستی



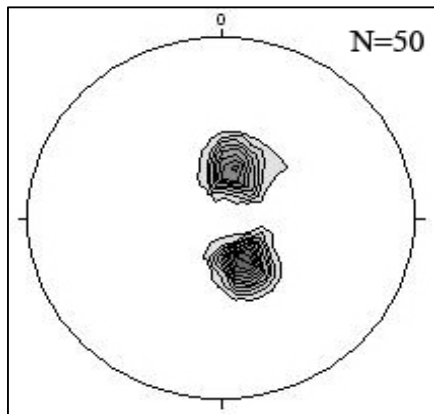
شکل ۸- نمایی از چین نسل اول در واحد Pzc (دید به سمت شمال خاور)



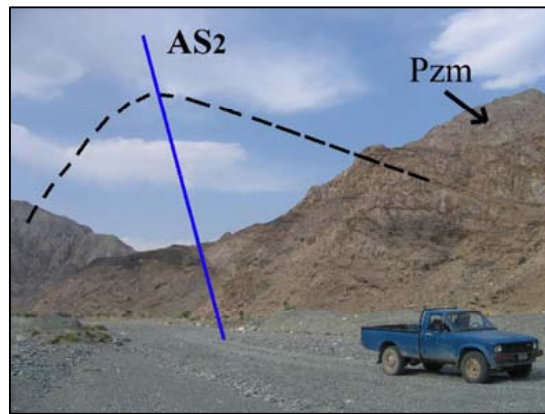
شکل ۱۱ - نمایی از چین نسل اول در واحد PzQt
(دید به سمت شمال باخته)



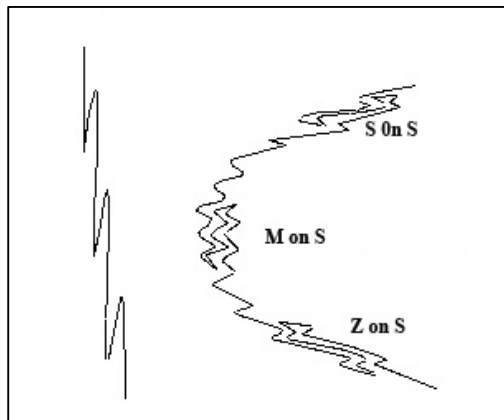
شکل ۱۰- نمایی از چین کششی در لایه کوارتر- فلدسپاتی تفریق شده
در واحد Pzmv (دید به سمت خاور)



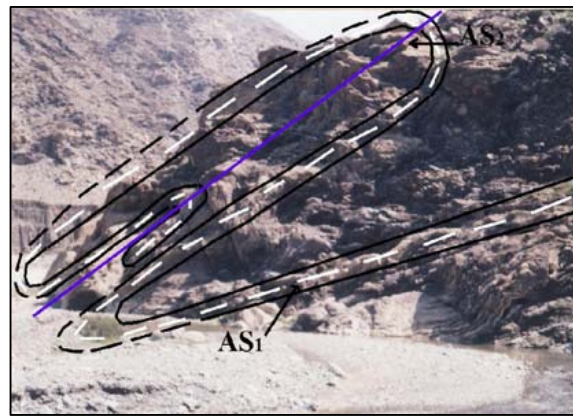
شکل ۱۲-ب) شبکه استریو گرافیک قطبهای لایه‌بندی تاقدیس پاسفید



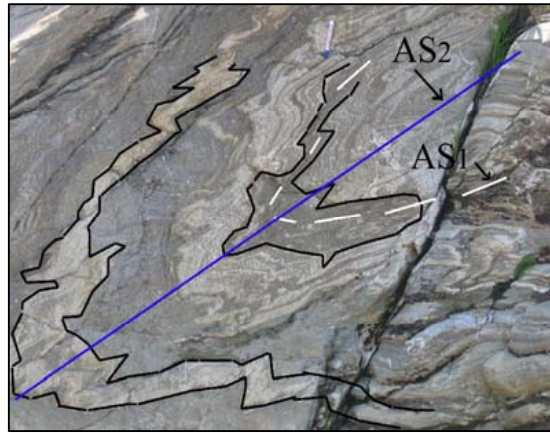
شکل ۱۲-الف) نمایی از تاقدیس پاسفید (دید به سمت شمال خاور) در الگوی تداخلی حوضه خاوری



شکل ۱۴ - چین خوردگی دوباره یک چین S (Ramsay, 1987) شکل



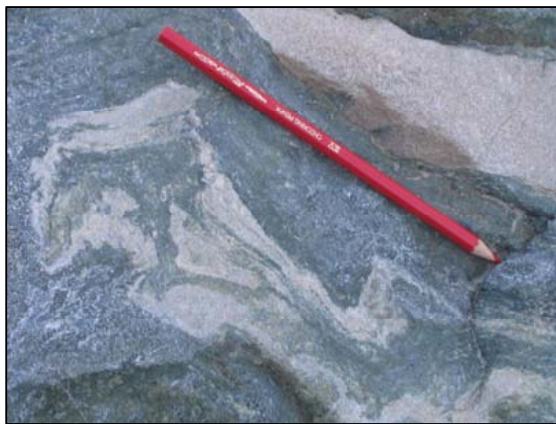
شکل ۱۳ - نمایی از رختمنون الگوی تداخلی در واحد Pzc (دید به سمت خاور)



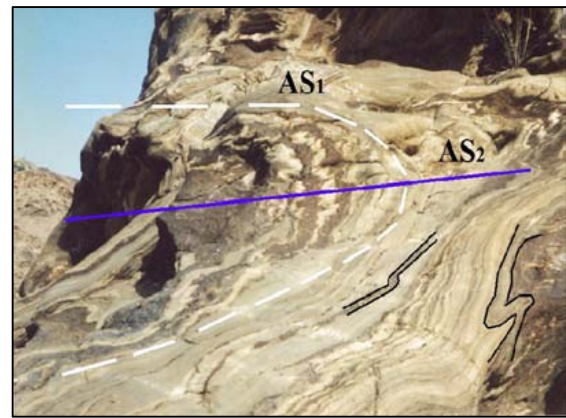
شکل ۱۵-ب) الگوی MonS



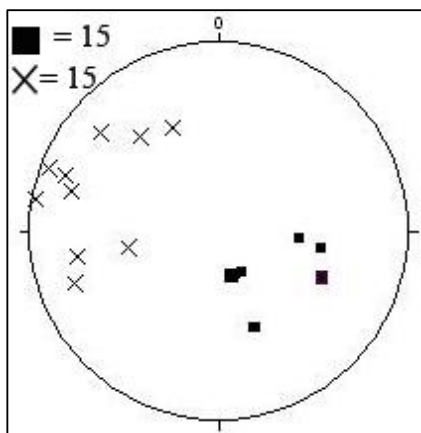
شکل ۱۵-الف) الگوی ZonS



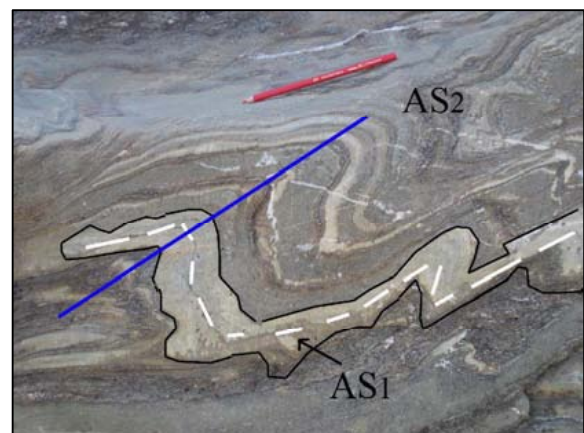
شکل ۱۵-ت) الگوی تداخلی نوع سوم (HookType)



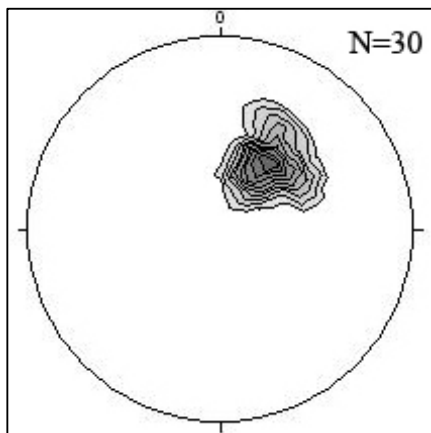
شکل ۱۵-پ) الگوی SonS



شکل ۱۶-ب) توزیع محورها (X) و قطب سطوح محوری F_2 (■) در الگوی تداخلی حوضه خاوری



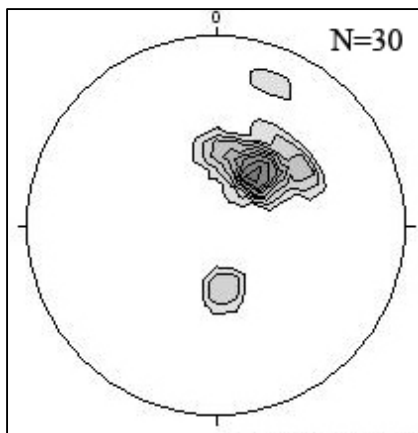
شکل ۱۶-الف) موقعیت AS_2 نسبت به AS_1



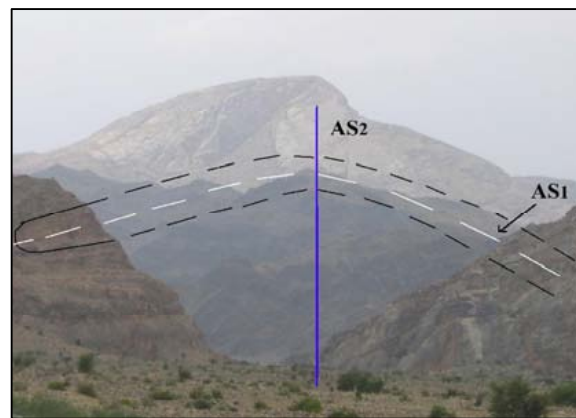
شکل ۱۷-ب) شبکه استریو گرافیک قطبهای لایه بندی چین خواریده جنوب باختری رخداد طلای زرتشت



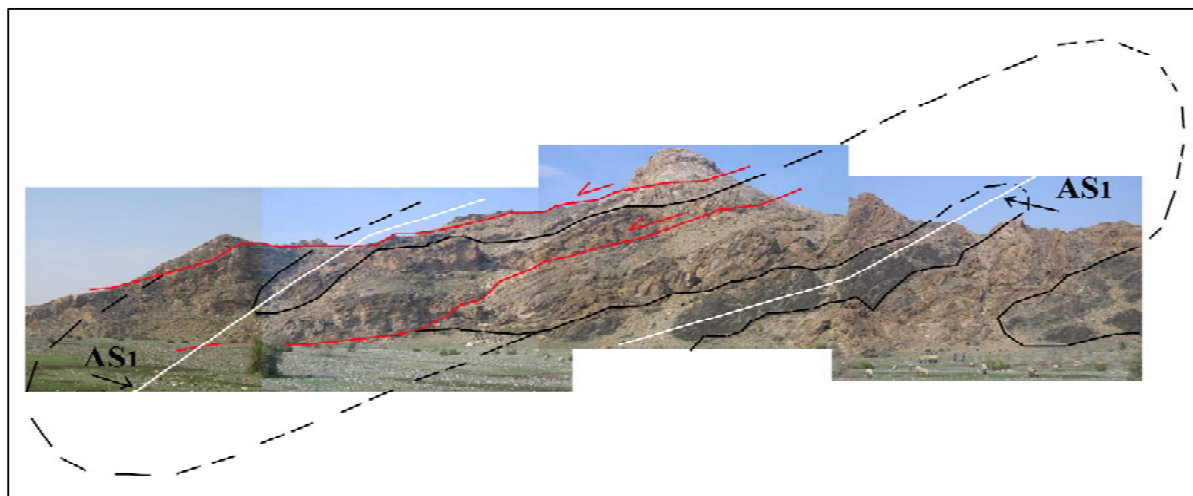
شکل ۱۷-الف) حضور نسل اول در حوضه مرکزی به صورت چین خواریده و چینهای فرعی این نسل با حضور چین Z شکل در یال عادی



شکل ۱۸- ب) شبکه استریوگرافیک قطب‌های لایه‌بندی تاقدیس زرترشت



شکل ۱۸- الف) نمایی از چین خوردگی نسل دوم در حوضه مرکزی
(دید به سمت باخته)



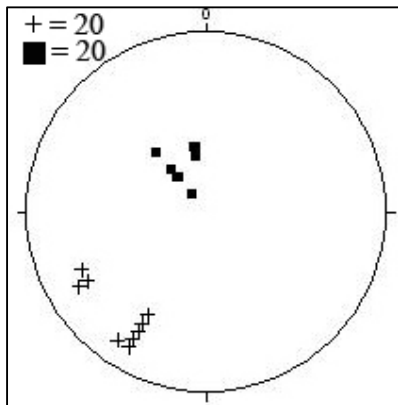
شکل ۱۹- نمایی از رخنمون الگوی تداخلی در واحد PZC در حوضه مرکزی (دید به سمت باخته)



شکل ۲۰- ب) الگوی تداخلی MonS



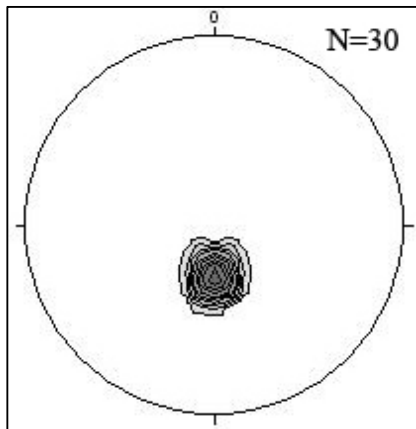
شکل ۲۰- الف) الگوی تداخلی ZonS



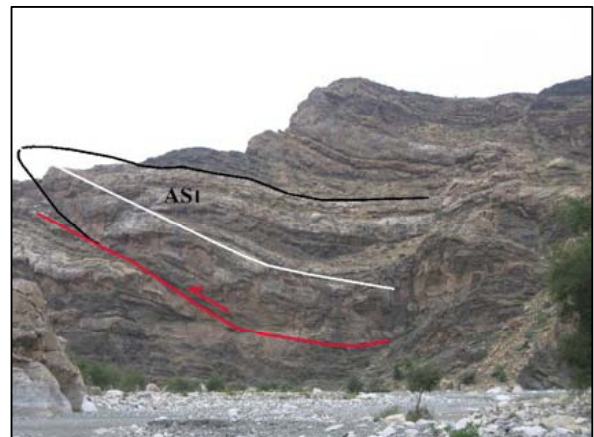
شکل ۲۰ - ت) توزیع محور چینها (+) و قطب سطوح محوری F_2 (■)
در رخمنون الگوی تداخلی در حوضه مرکزی



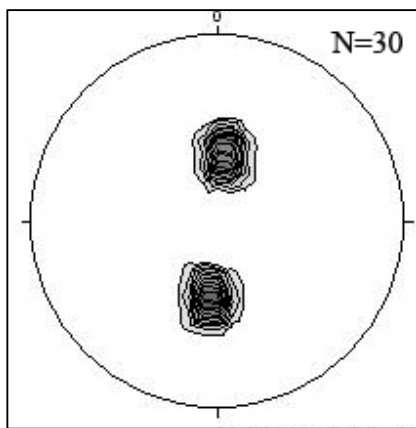
شکل ۲۰ - پ) الگوی تداخلی SonS



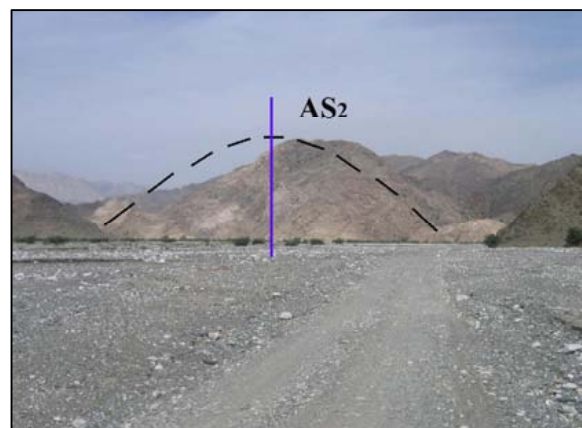
شکل ۲۱ - ب) شبکه استریو گرافیک چین خوابیده در حوضه باختری



شکل ۲۱-الف) نمایی از چین نسل اول در حوضه باختری
(دید به سمت باختر)



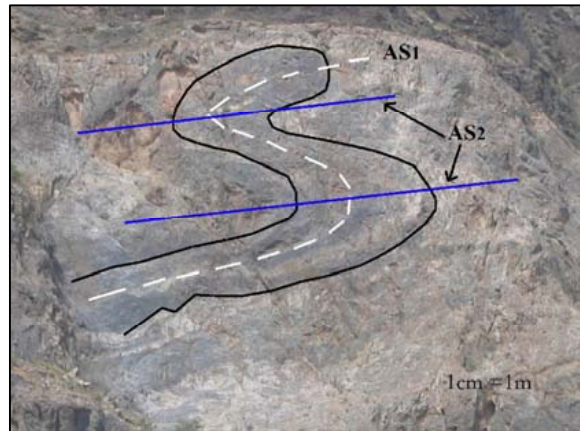
شکل ۲۲ - ب) شبکه استریو گرافیک قطبهای لایه بندی تاقدیس زهمکان
در حوضه باختری



شکل ۲۲ - الف) نمایی از چین نسل دوم در حوضه باختری
(دید به سمت باختر)



شکل ۲۴-نمایی از راندگی T1 درون واحد Pzmv



شکل ۲۳-نمایی از الگوی تداخلی در حوضه باختり چین خوردن سطح

محوری نسل اول (AS₁) و موقعیت AS₂ نشان داده شده است
(دید به سمت باختر)



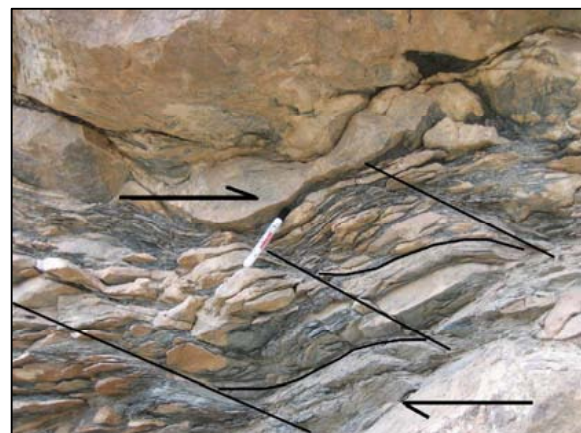
شکل ۲۵- ب) چینهای کششی ایجاد شده در پهنه برشی راندگی T2



شکل ۲۵- الف) نمایی از راندگی T2 در انتهای باختری
(دید به سمت خاور)



شکل ۲۵- ت) برگوارگی ترانهشی حاصل از دگرگشکلی لایه بنده اولیه و تشکیل چینهای سنجاقی. جایه جایی قطعات مرمری مؤلفه راندگی را نشان می دهد.



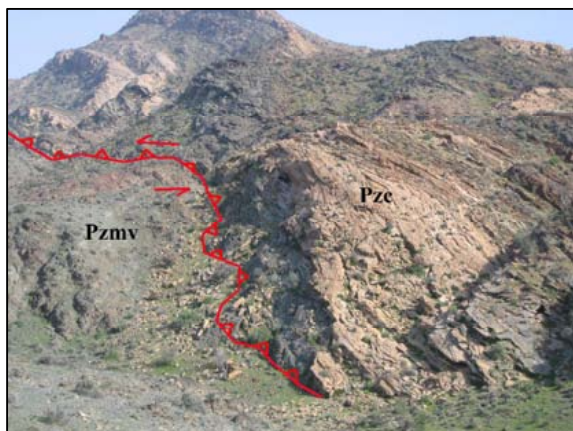
شکل ۲۵- پ) ساختار S-C که سوی برش را نشان می دهد
(دید به سمت شمال)



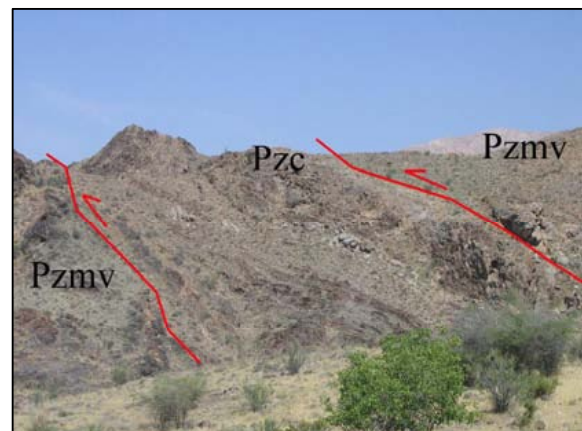
شکل ۲۶-ب) ساختار $S-C$ در پهنه برشی راندگی که برش راستگرد را نشان می‌دهد (دید به سمت شمال)



شکل ۲۶-الف) نمایی از بخشهای بالآمده واحد PzC در راندگی $T1$ (دید به سمت شمال باخترا).



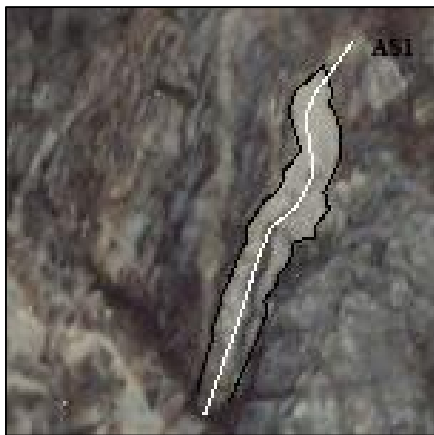
شکل ۲۷-نمایی از قرارگیری واحد PzC بر روی واحد $PzmV$ جنوب رخداد طلای زرترشت، دید به سمت خاور)



شکل ۲۶-ج) نمایی از راند شدن تکه هایی از واحد PzC بر روی واحد $PzmV$ (دید به سمت باخترا)



شکل ۲۸ - نمایی از راندگی $T1$ در واحد $PzmV$



شکل ۲۹- ب) نمایی از راندگی تر و حضور یک چین خوابیده در مقیاس مزوسکوپی در پهنه برشی راندگی



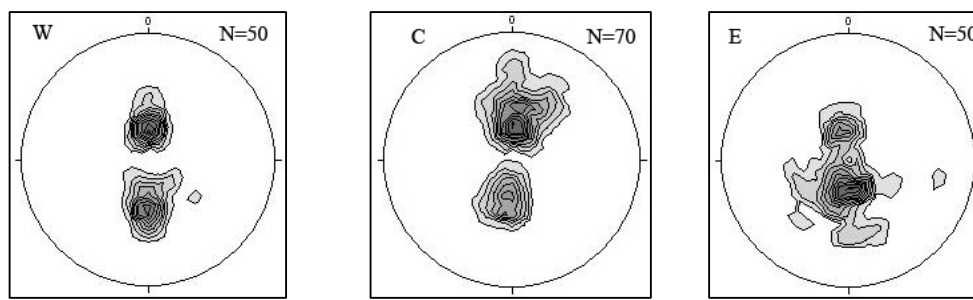
شکل ۲۹- الف) نمایی از راندگی در حوضه باختری. تأثیر نسل دوم چین خوردگی باعث چین خوردگی شده است.



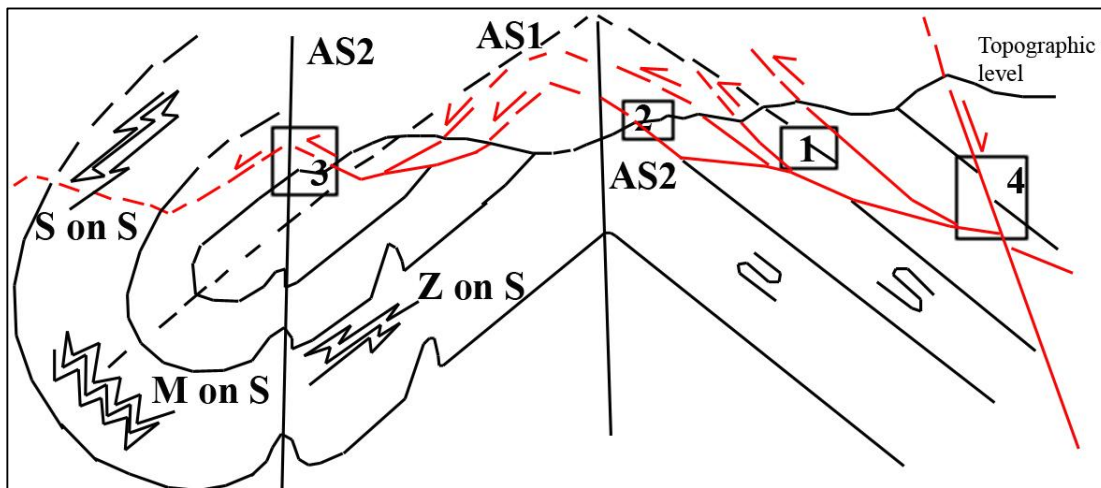
شکل ۳۱- نمایی از برگوارگی در بخش کالک شیستی کمپلکس سرگز



شکل ۳۰- نمایی از مخروط افکنه جوان در پای کوه پا سفید که به صورت یک بر جستگی دیده می شود.



شکل ۳۲- شبکه استریوگرافیک توزیع قطب سطوح برگوارگی در حوضه های خاوری (E)، مرکزی (C) و باختری (W)



شکل ۳۳- توالی دگرگونی پیشرونده در منطقه فاریاب .۱- چین خوردگی نسل اول به صورت چینهای خوابیده -۲- توسعه راندگی در تداوم چین خوردگی
نسل اول ۳- نسل دوم و تاثیر آن به صورت چین خوردن دوباره سطح محوری نسل اول و راندگیها ۴- گسلش عادی

کتابنگاری

سپزه‌بی، م، ۱۳۷۳ - گزارش مقدماتی درباره کانی سازی طلای زرتشت، جنوب باخته سیزواران. شرکت توسعه علوم زمین، ۳۹ صفحه.

References

- Ando, C. J., Cook, F. A., Oliver, J. E., Brown, L. D., Kaufman, S., 1983- Crustal geometry of the Appalachian orogen from seismic reflection studies. In: Hatcher, RD., Jr., Williams, H., In (eds) Contribution to the Tectonics and Geophysics of Mountain chains, Geological society of America Memoir 158, 83-102.
- Brunel, M., Kienast, J. R., 1986- Etude petro-structurale des chevauchements ductiles himalayens sur la transversale de i Everest_Makalu (Nepal)oriental. Canadian journal of earth Sciences ,23,1117-1137.
- Butler, R. W. H., Coward, M. P., 1984 - Geolocal constraints , structural evolution and deep geology of the northwest Scottish Caledonides.Tectonics,3,347-365.
- Hatcher, R. D., Jr., 1995- Structural Geology. Printice Hall.New Jersy,528p.
- Hatcher, R. D., Jr., 1989-Tectonic synthesis of the US Appalachians .Geological society of America,The Geology of North America .F-2, 511-535.
- Hatcher, R. D., Jr., Hooper,R.J.,1992-Evolution of crystalline thrust sheets in the internal parts of mountain chains. In (eds) Thrust Tectonics.Chapman ,Hall,447p.
- Hubber, H.,1955- Geological report on the Esfandagheh area .N.I.O.C.GeoL.Rept.No,124,49p
- Hushmandzadeh,A.,Berberian,M.,1972- The geological observation in Khabr-Dehsard area. Geol. surv. Iran. Internal report
- Mohajjal, M., 1997-. Structure and tectonic evolution of Paleozoic –Mesozoic rocks, Sanandaj-Sirjan Zone, Western Iran.Ph.D thesis, University of Wollongong.Wollongong ,Australia (unpublished).
- Ramsay, J. G., 1967- Folding and Fracturing of Rocks. McGrawHill,New York,568p
- Ramsay, J. G., Huber, M. I., 1987- The Techniques of Modern Structural Geology. Volume 2 Folds and Fractures.Academic Press, London.700p.
- Sabzehi, M., 1974- Les melanges ophiolitiques de la region d' Esfandagheh ,Interpretation dans le cadre iranien.These, Universite de Grenoble,205P.
- Sabzehi, M., Berberian , M., 1972- Preliminary note on the structural and metamorphic history of the area between Dolatabad and Esfandagheh ,southern centeral Iran.Geol.Surv.Iran.Internal report.